

РАСПРЕДЕЛЕНИЕ СРОКОВ СЛУЖБЫ ДЕТАЛЕЙ КАК ФУНКЦИИ ПРЕДЕЛОВ ВЫНОСЛИВОСТИ С ЗАДАННОЙ ПЛОТНОСТЬЮ

*Белорусский национальный технический университет
Минск, Беларусь*

При усталостных испытаниях образцов и деталей машин выявляется (например, по данным В.П. Когаева), что числа циклов их нагружения до разрушения подчиняются логарифмически-нормальному закону распределения, а пределы выносливости σ_f - нормальному. Однако при проектировании деталей машин сроки их службы (и соответственно числа циклов нагружения до разрушения) являются неизвестными и их дискретные значения приходится определять как функцию σ_R с использованием одного из уравнений кривых многоциклового усталости, например степенного уравнения Баскуина. При этом параметры и характер дифференциального закона (плотность) распределения чисел циклов нагружения остаются невыявленными. Вместе с тем, плотность распределения величины σ_R часто бывает известной

$$f(\sigma_R) = \frac{1}{\sigma_{\sigma_R} \sqrt{2\pi}} \exp \left[-\frac{(\sigma_R - \bar{\sigma}_R)^2}{2\sigma_{\sigma_R}^2} \right]$$

Здесь $\bar{\sigma}_R$ - математическое ожидание (среднее значение) случайной величины;

σ_R ; σ_{σ_R} - среднеквадратическое отклонение σ_R (параметры нормального распределения);

σ_R , σ_{σ_R} и σ_{σ_R} для многих материалов приводятся в справочниках.

При ресурсном проектировании машин и их деталей представляет интерес, как будут распределяться сроки их службы (или числа нагружения до разрушения) при постоянных и переменных напряжениях. Из степенного уравнения Баскуина числа циклов нагружения N при напряжении σ есть функция σ_R

$$N = \psi(\sigma_R) = N_G \left(\frac{\sigma_R}{\sigma} \right)^m,$$

где N_G - число циклов нагружений до перелома кривой усталости;

m - показатель степени; σ - расчетное напряжение.

Для некоторых типов нагружения, материалов и видов термообработки N_G и m определены и также приводятся в справочниках.

Для того, чтобы определить дифференциальную функцию (плотность) распределения N можно воспользоваться положением теории вероятностей, в соответствии с которым закон распределения функции $f(N)$ по известному распределению аргумента σ_R выглядит так:

$$f(N) = f[\varphi(N)] \varphi'(N),$$

где $f[\varphi(N)]$ - плотность распределения функции $[\varphi(N)]$;

$\varphi(N)$ - функция, обратная функции $\psi(R)$,

$$\varphi(N) = \sigma \left(N / N_G \right)^{1/m};$$

$\varphi'(N)$ - первая производная функции $\varphi(N)$, $\varphi'(N)$, равная

$$\varphi'(N) = \frac{\sigma}{mN_G^{1/m} \cdot N^{1-1/m}}$$

Для данного случая получим следующее выражение:

$$f(N) = \frac{1}{\sigma_{\sigma_R} \sqrt{2\pi}} \exp\left[-\frac{[\sigma(N/N_G)^{1/m}]^2}{2\sigma_{\sigma_R}^2}\right] \cdot \frac{\sigma}{mN_G^{1/m} N^{1-1/m}}$$

Очевидно, что эта функция распределения уже не будет нормальной.

Полагая $N_G, \bar{\sigma}_R, \sigma_{\sigma_R}, m$ постоянными можно построить кривые $f(N)$ для различных значений σ в зависимости от одного аргумента - числа циклов нагружения N до разрушения детали. Воспользовавшись известной компьютерной программой Mathcad 8 получим в диапазоне $N=1,5 \cdot 10^5 \dots 3,5 \cdot 10^6$ следующий график (рис. 1) для значений $\sigma_R=126$ МПа, $\sigma_{\sigma_R}=12$ МПа, $N_G=2,2 \cdot 10^6$, $m=4,09$, $\sigma=150$ МПа (на графике $f(N)$ обозначена как $f(n)$):

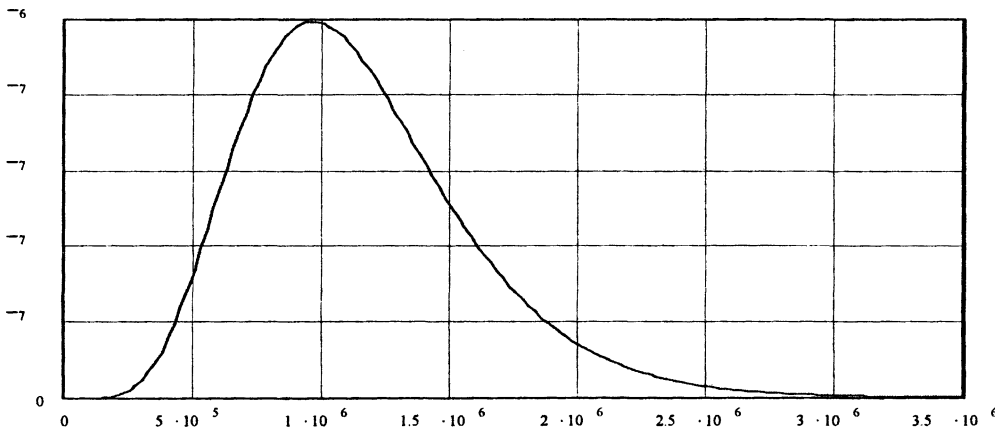


Рис.1. График $f(N)$

Как видим, кривая $f(N)$ имеет правостороннюю (положительную) асимметрию, поскольку математическое ожидание \bar{N} лежит правее моды, равной в данном случае $\sim 9 \cdot 10^5$ циклов. Математическое ожидание \bar{N} для заданного диапазона чисел циклов $1,5 \cdot 10^5 \dots 3,5 \cdot 10^6$ легко вычисляется по известному уравнению

$$\int_{1,5 \cdot 10^5}^{3,5 \cdot 10^6} n \cdot f(n) dn = 1,14 \cdot 10^6$$

Для определения дисперсии в этой же программе используем формулу:

$$\bar{N} = \int_{1,5 \cdot 10^5}^{3,5 \cdot 10^6} N f(N) dN = 1,14 \cdot 10^6$$

Среднеквадратическое отклонение

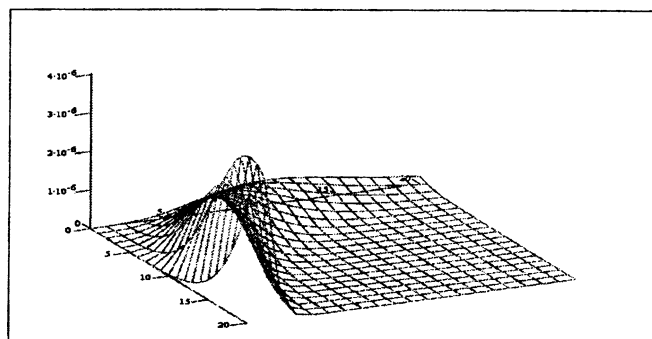
$$\sigma_N = \sqrt{\sigma_N^2} = 4,395 \cdot 10^5$$

Коэффициент вариации

$$v_N = \sigma_N / \bar{N} = 4,395 \cdot 10^5 / 1,14 \cdot 10^6 = 0,385$$

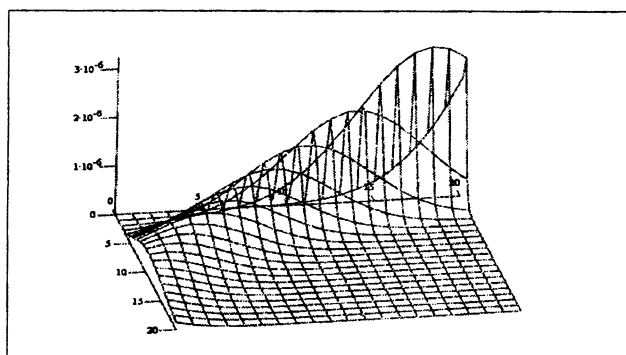
На рисунках 2, 3 показаны поверхностные графики функции $f(N, \sigma_R)$.

На графиках (Рис. 2 и 3) по координатным осям отложены: вертикальная ось Z – плотности распределения; горизонтальная ось X – числа циклов нагружения; ось Y – пределы выносливости.



М

Рис. 2. Поверхностный график функции $f(N, \sigma_R)$



М

Рис. 3. Поверхностный график функции $f(N, \sigma_R)$, соответствующий левой части кривой усталости

На осях X и Y (Рис. 2 и 3) весь диапазон откладываемых величин-аргументов разбит на 20 участков и каждый из них включает соответствующий поддиапазон аргументов в порядке их возрастания.

УДК 621.185.532

С.Е. Бельский, Ф.Ф. Царук, А.В. Блохин

ПОРОГОВЫЕ НАПРЯЖЕНИЯ – ВАЖНАЯ ХАРАКТЕРИСТИКА СОПРОТИВЛЕНИЯ УСТАЛОСТИ КОНСТРУКЦИОННЫХ МАТЕРИАЛОВ

*Белорусский государственный технологический университет
Минск, Беларусь*

Длительность и повышенная трудоемкость проведения усталостных испытаний конструкционных материалов вынуждают к поиску физических величин, позволяющих выявить закономерности протекания процесса усталостного повреждения и тем самым дать возможность прогнозировать поведение материала в поле переменных напряжений. В качестве одной из таких характеристик могут быть предложены пороговые напряжения, т.е. величины циклических напряжений, ниже которых не наблюдается принятыми методами исследований на выбранной базе испытаний изменений исследуемой